

## بهبود پایداری و کنترل ولتاژ و فرکانس در ریزشبکه شناور به روش کنترل دروب غیرمت مرکز جزیره‌ای

محمدصادقی<sup>۱</sup>، محمدرضا علیزاده پهلوانی<sup>۲</sup>، آرش دهستانی کلاگر<sup>۳\*</sup> و مهدی مصیبی<sup>۴</sup>

۱ دانشجوی کارشناسی ارشد -۲- استاد، -۳- استادیار -۴- استادیار، دانشگاه صنعتی مالک‌اشتر، تهران، ایران

(دریافت: ۱۴۰۳/۰۵/۳۰، بازنگری: ۱۴۰۳/۰۶/۲۹، پذیرش: ۱۴۰۳/۰۷/۲۰، انتشار: ۱۴۰۳/۰۸/۰۱)

DOI: <https://doi.iee.ac.ir/10.1001.1.26762935.1403.15.3.1.2>

### چکیده

پایداری، کنترل ولتاژ و فرکانس در ریزشبکه شناورها یکی از مباحث مهم در پیشگیری از خرابی تأسیسات و تجهیزات و همچنین امنیت جان سرنشینان شناور است که در مبحث پدافند غیرعامل قابل بحث است. به همین دلیل، در این مقاله یک روش کنترل خودکار مستقل برای به اشتراک گذاشتن توان راکتیو در میان منابع انرژی و همچنین، تشییت فرکانس بهمنظور بهبود پایداری و کنترل ولتاژ و فرکانس در ریزشبکه شناور به روش کنترل دروب غیرمت مرکز ارائه می‌گردد. تقسیم توان مناسب باعث بهبود عملکرد میکروگرید و قدرت مانور آن در زمان خطای می‌شود و عملکرد میکروگرید را در شرایط جزیره‌ای تضمین می‌کند و با مدیریت توان راکتیو در عین ثابت نگاهداشتن فرکانس ریزشبکه، می‌توان به رفتار مقاوم ریزشبکه در برابر بارهای نامتعادل، بدون بهره‌گیری از هیچ‌گونه سیستم مخابراتی دست یافته. همچنین با کنترل کننده غیرمت مرکز پیشنهادی، با اشتراک گذاری توان راکتیو و تشییت فرکانس در میکروگرید شناور الکتریکی، قابلیت اطمینان سیستم‌های ریزشبکه بهبود داده خواهد شد. در این مقاله، بهمنظور بررسی صحت نتایج و درستی عملکرد سیستم کنترلی، دو شاخص در نظر گرفته می‌شود. اولین مورد، شاخص فرکانس زاویه‌ای است که جهت بررسی عملکرد سیستم در تشییت فرکانس در حالت‌های مختلف موردادستفاده قرار می‌گیرد. دومین مورد نیز شاخص مربوط به ولتاژ است که در حالت عملکرد نرمال ۲۳۷ ولت بوده و اختلاف ولتاژ ولتاژ با این مقدار، نشان‌دهنده خطای سیستم کنترلی است که در شبیه‌سازی‌ها به آن اشاره می‌شود. نتایج شبیه‌سازی برای سناریوهای مختلف بررسی شده و نشان داده می‌شود که در تمامی این حالت‌ها، حتی در حالت تغییر ناگهانی بار، سیستم کنترلی به خوبی عمل نموده و با اشتراک گذاری توان راکتیو و عملکرد مناسب بخش تشییت کننده فرکانس، ولتاژ در محدوده مجاز قرار گرفته و فرکانس نیز به مقدار اولیه خود باز خواهد گشت.

**کلیدواژه‌ها:** ریزشبکه شناور، کنترل کننده غیرمت مرکز، دروب کنترل

## Improving the Stability and Control of Voltage and Frequency in Shipboard Microgrid Using Island Decentralized Droop Control Method

M. Sadeghi Ahmadabadi, M. R. Alizadeh Pahlavani, A. Dehestani Kolagar\*, M. Mosayebi

Malek Ashtar University of Technology

(Received: 2024/08/20, Revised: 2024/09/19, Accepted: 2024/10/11, Published: 2024/10/22)

### Abstract

Stability, voltage and frequency control in the shipboard microgrid is one of the important topics in preventing the breakdown of facilities and equipment, as well as the safety of the shipboard operators, which can be discussed in the topic of advanced defense. In this paper, an independent automatic control method for sharing reactive power among energy sources, as well as frequency stabilization in order to improve stability and voltage and frequency control in shipboard microgrids, is presented using the decentralized droop control method. Proper power distribution improves the performance of the microgrid and its maneuverability during the fault and ensures the performance of the microgrid in island conditions and by managing the reactive power while keeping the frequency of the microgrid constant, the robust behavior of the microgrid against unbalanced loads, without using any Telecommunication system is achieved. Also, with the proposed decentralized controller, the reliability of microgrid systems will be improved by reactive power sharing and frequency stabilization in the shipboard electric microgrid. In this article, in order to evaluate the correctness of the results and the performance of the control system, two criteria are considered. The first one is the angular frequency index, which is used to check the performance of the system in stabilizing the frequency in different modes of operation. The second one is the voltage indicator, which is 237V in normal operation mode, and the voltage difference with this value indicates the error of the control system, which is mentioned in the simulations. The simulation results are presented for different scenarios and it is shown that in all conditions, even in the case of sudden load change, the control system operates appropriately and with the sharing of reactive power and the proper operating of the frequency stabilizer, the voltage is within the allowed range. In addition, the frequency has also returned to its initial value.

**Keywords:** Shipboard MicroGrid, Decentralized Control, Droop Control

\*Corresponding Author E-mail:a\_dehestani@mut.ac.ir

Advanced Defence Sci.& Technol., 2024, 3, 139-148.



برای جایگزینی پیشنهادهای دیزلی متصل به سیستم مکانیکی به دلیل مزایای آن‌ها مورد توجه قرار گرفته است که شامل موارد زیر است:

۱. بازده بهبود یافته ژنراتورها
۲. بهبود کارایی پیشنهادهای در بارگیری و سرعت کم
۳. پاسخ دینامیکی سریع تر
۴. کاهش وزن و حجم تجهیزات الکتریکی

عملکرد مناسب یک ریز شبکه تنها در صورت وجود یک سیستم کنترل مناسب امکان‌پذیر است. برای کنترل ریز شبکه‌ها به طور کلی دو روش مرکزی و غیرمرکزی پیشنهاد شده است. در روش اول ریز شبکه دارای یک سیستم کنترل مرکزی است، که اطلاعات منابع تولید پراکنده به کنترل مرکزی فرستاده شده و در آنجا برای وضعیت ریز شبکه تصمیم‌گیری می‌شود [۹]. در کنترل غیرمرکزی، هر منبع انرژی پراکنده با استفاده از سیگنال‌های اندازه‌گیری شده محلی، به صورت مستقل از سایر منابع عمل می‌کند. عدم نیاز به لینک مخابراتی و عدم وجود منبعی به عنوان مرجع نیز باعث افزایش قابلیت اطمینان سیستم می‌گردد [۱۰-۱۱]. مهم‌ترین و جدیدترین روش کنترل غیرمرکزی که تابه‌حال ارائه شده است بر اساس یک روش دروب<sup>۱</sup> به کنترل ریز شبکه می‌پردازد. این روش بر اساس مشخصه‌های دروب فرکانس - توان اکتیو و نیز دروب ولتاژ - توان راکتیو برای هر واحد تولید، یک استراتژی کنترل جریان برای سیستم ریز شبکه با چندین واحد تولید ارائه می‌کند و هر واحد تولید به وسیله دو مشخصه دروب مشخص می‌گردد [۱۲].

اصلی‌ترین مزیت روش‌های مبتنی بر دروب، عدم نیاز به مخابرات (کالیل‌های ارتباطی) است که این سبب افزایش قابلیت اطمینان در چنین سیستم‌هایی می‌شود؛ اما این روش به طور مستقیم دینامیک‌های بار را در حلقه کنترل در نظر نمی‌گیرد و بنابراین تعییرات سریع / بزرگ در دینامیک‌های بار منجر به پاسخ ضعیف ریز شبکه و در موارد نیز موجب ناپایداری ولتاژ / فرکانس می‌گردد. از سوی دیگر مصالحه بین دقت در تقسیم توان و تنظیم فرکانس و ولتاژ، منجر به پاسخ گذرای کند، سیستم کنترل ریز شبکه می‌گردد [۱۳]؛ بنابراین نیاز است تا ساختار جدیدی ارائه شود که نه تنها مزایای روش فوق را داشته باشد بلکه بتواند ضعف‌های موجود را برطرف کند.

باتوجه به استانداردهای طبقه‌بندی و قوانین کشتی‌هایی که با مسائل مربوط به کیفیت برق مرتبط هستند، اوجاج هارمونیکی ولتاژ و جریان در شبکه‌های الکتریکی کشتی‌ها باید کمتر از ۵ درصد و در برخی موارد، اوجاج هارمونیکی ولتاژ تا ۸ درصد نیز مجاز است. همچنین ضریب توان بهره‌برداری از سیستم برق

## ۱. مقدمه

تأمین امنیت به عنوان یکی از اساسی‌ترین نیازهای انسانی، می‌تواند علاوه بر تأمین نیازهای اصلی، زمینه‌ساز سایر نیازهای نیز باشد. کاستن از آسیب‌پذیری نیروی انسانی، تأسیسات و تجهیزات حیاتی کشور در حملات خصم‌مانه و مخرب دشمن و استمرار فعالیت‌ها در شرایط بحرانی ناشی از جنگ، از جمل موارد ضروری در برنامه‌ریزی‌های مربوط به شناورهای و کشتی‌های نظامی است که از آن به عنوان پدافند غیرعامل یاد می‌شود. پدافند غیرعامل به مجموعه اقداماتی اطلاق می‌گردد که مستلزم به کارگیری جنگ‌افزار و تسلیحات نبوده و با اجرای آن می‌تواند از واردشدن خسارت مالی به تجهیزات و تأسیسات مهم و حیاتی جلوگیری شود و میزان خسارات را از این طریق کاهش داد. در این پژوهش به بهبود پایداری و کنترل ولتاژ و فرکانس در ریز شبکه شناور پرداخته می‌شود که یک روش در پدافند غیرعامل هست و سبب می‌شود در شرایط خاص که شبکه شناور دچار مشکل می‌گردد، پایداری سیستم برقرار باشد [۱].

شناورهای سنتی از برق AC تأمین شده از دیزل ژنراتور برای تأمین توان الکتریکی موردنیاز استفاده می‌کردند. به مرور زمان با پیشرفت در حوزه مبدل‌های الکترونیک قدرت، استفاده از شبکه‌های هیبریدی و DC برای تأمین توان آن‌ها افزایش یافته است [۲]. این تحول، زمینه استفاده از منابع تولید پراکنده تجدیدپذیر نظیر منابع خورشیدی و همچنین ذخیره‌سازها را در شبکه برق شناورها فراهم ساخت [۴-۳]. در چند سال گذشته، جایگزینی سیستم‌های قدرت مکانیکی با سیستم‌های برقی در شبکه‌های برق شناورها مورد توجه زیادی بوده است. استفاده از پیشرانه‌های برقی یا دیزلی - الکتریکی در شناورهای دریایی امری عادی است [۵-۷]. برخی از شناورهای دریایی به عنوان مثال شناورهای پشتیبانی غواصی و کشتی‌های حمل کانتینر، از سیستم‌های محرک دی‌الکتریک استفاده می‌کنند. این شناورها هم دارای پیشرانه‌های مکانیکی هستند که در طی عملیات دوربرد، با سرعت ثابت استفاده می‌شوند و هم از پیشرانه‌های برقی که برای کارهای مانور با سرعت پایین استفاده می‌شوند. کشتی‌های جدید کروز تمایل به استفاده از پیشرانه الکتریکی دارند که در آن از ژنراتورهای الکتریکی برای تولید برق استفاده می‌شود که پس از آن می‌توان توسط محرک‌های برقی بدون نیاز به اتصال مکانیکی بین ژنراتورها و پیشرانه‌ها استفاده کرد [۸]. لازم به ذکر است که اگرچه سیستم‌های محرک مبتنی بر الکتریکی هستند، اما تولید برق همچنان به دیزل ژنراتور نیاز دارد. تحقیقات در حال انجام در مورد ادغام وسایل ذخیره انرژی مانند باتری و چرخ طیار در شناورهای دریایی برای تکمیل دیزل ژنراتورها وجود دارد. با این حال، حتی با درنظر گرفتن منابع انرژی تجدیدپذیر، استفاده از دیزل ژنراتور برای تولید برق موردنیاز است. این به دلیل تقاضای زیاد برق در کشتی‌های دریایی است. استفاده از پیشرانه‌های برقی

<sup>۱</sup>Droop Method

استفاده از یک کنترل کننده غیرمتمنکر برای کنترل واحدهای DER موجود در ریزشبکه مورد بررسی قرار گرفته است [۱۵]. در این روش هریک از منابع تولید پراکنده وظیفه کنترل خود را به عهده داردند و تنها بر اساس اندازه‌گیری‌های محلی فعالیت می‌کنند. این روش به دلیل عدم نیاز به یک کنترل کننده مرکزی یا لینک مخابراتی، از قابلیت اطمینان و انعطاف‌پذیری خوبی برخوردار است. یک استراتژی کنترل غیرمتمنکر بر اساس منطق فازی ارائه شده که در آن سیستمهای ذخیره انرژی پراکنده با تغییر امپدانس مجازی DC، یک ولتاژ کنترل شده و ذخیره‌سازی انرژی را برای کنترلهای دروپ در حالت شارژ با واحد انرژی ارائه می‌دهد [۱۶]. همچنین در آن پژوهش، مقاومت مجازی به‌خاطر تغییرات ولتاژ در تنظیم می‌شود. روش بهبود دروپ کنترل در یک ریزشبکه در حالت جزیره‌ای ارائه شده و نتایج حاصل نشان داده که در روش پیشنهادی، با اشتراک‌گذاری دقیق جریان در کل سیستم، دستیابی به تنظیم ولتاژ در کل سیستم میسر می‌شود [۱۷].

در این مقاله یک روش کنترل خودکار مستقل برای به اشتراک گذاشتن توان راکتیو در میان منابع انرژی و تثبیت فرکانس بهمنظور بهبود پایداری و کنترل ولتاژ و فرکانس در ریزشبکه شناور به روش کنترل دروپ غیرمتمنکر ارائه می‌گردد. در این روش هیچ‌گونه لینک مخابراتی وجود ندارد و بنابراین قابلیت اطمینان بالایی دارد. همچنین در روش پیشنهادی برای ازین‌بردن هرگونه وابستگی به لینک مخابراتی و درنتیجه حفظ خودمختاری، سادگی و قابلیت اطمینان سیستم، هماهنگ‌سازی<sup>۱</sup> منابع بدون هیچ ارتباطی انجام می‌شود. به عبارتی دیگر با تشخیص محلی تغییر بارها، هماهنگی و هماهنگ‌سازی میان واحدهای تولید انرژی صورت می‌گیرد؛ بنابراین در این مقاله پس از طراحی و مدل‌سازی روش کنترلی پیشنهادی، بهمنظور بررسی نحوه عملکرد آن، سیستم کنترلی مذکور بر روی یک ریزشبکه شناور شامل منابع تولید انرژی پیاده‌سازی می‌شود و منحنی‌های مربوط به تغییرات فرکانس، توان اکتیو، ولتاژ پایانه و توان راکتیو در چند حالت مختلف مورد تحلیل و بررسی قرار می‌گیرد. در ادامه منحنی‌های مذکور در حالت عدم حضور کنترل کننده پیشنهادی نیز به دست می‌آیند تا صحت عملکرد روش پیشنهادی مورد ارزیابی قرار گیرد. لازم به ذکر است که کلیه مراحل شبیه‌سازی با استفاده از نرم‌افزار MATLAB/SIMULINK انجام می‌گیرد. این مقاله دارای اجزایی است که در چهار بخش تنظیم شده است. در بخش دوم، روش کنترل دروپ غیرمتمنکر و سپس روش پیشنهادی مورد بررسی قرار گرفته است. در بخش سوم نتایج شبیه‌سازی ارائه و تحلیل شده است. سرانجام، در بخش چهارم نتیجه‌گیری ارائه شده است.

کشتی‌ها باید بیشتر از ۹۰٪ باشد. ریپل ولتاژ در شناورها نیز نباید به ترتیب بیش از ۶ درصد باشد. در شناورها به خصوص در حالت عملکرد ژنراتورها، استفاده از ادوات الکترونیک قدرت و از طرفی محدود ژنراتورها، استفاده از ادوات الکترونیک قدرت و از طرفی با توجه به حضور بارهای سنگین موتوری و چالش تغییرات بار مصرفی، رخداد مشکل افت ولتاژ به یک چالش اساسی تبدیل شده است. این چالش هم در شبکه‌های برق از نوع AC و هم در شبکه‌های برق از نوع DC شایع است و می‌تواند سبب آسیب رسیدن به تجهیزات، وقوع خاموشی و وقفه در عملکرد تجهیزات و حتی خطرات جانی خدمه گردد. در شبکه‌های برق AC، عدمه دلیل وقوع ناپایداری ولتاژ را می‌توان وقوع خطای اتصال کوتاه سه‌فاز و نوسانات بار مصرفی با توان بالا نظری موتورها و پمپ‌ها دانست. در شبکه‌های DC نیز عدمه دلیل افت ولتاژ، تغییرات بارهای مصرفی است. با وقوع افت ولتاژ، بسیاری از موتورهای الکتریکی در کشتی‌ها که از نوع القایی هستند، ممکن است با کاهش سرعت روتور، در آستانه ناپایداری فرکانس قرار گرفته و زیر بار بمانند و توانایی راهاندازی مجدد را نداشته باشند. درایوهای موتورهای پیشران و رانشگر کشتی‌ها ممکن است با وقوع افت ولتاژ، از مدار خارج شوند و کنترل روی دور موتورها از بین برود و درنتیجه، تعادل حرکت کشتی با خطر مواجه شود. با توجه به اینکه طول کابل‌های الکتریکی در شبکه برق کشتی‌ها نیز کوتاه است، سطح اتصال کوتاه مدار الکتریکی آن‌ها نسبتاً بالا بوده و حساسیت گذرهای جریان در مدار الکتریکی به افت و خیز ولتاژ خصوصاً زمانی که دامنه جریان مؤلفه اصلی ناچیز است، نسبتاً زیاد است. به‌این‌ترتیب میزان اعوجاج هارمونیکی جریان در شناورها در حالت تغذیه بارهای الکتریکی کم، بیشتر تحت تأثیر افت ولتاژ قرار گرفته و می‌تواند با افزایش تلفات الکتریکی، ناپایداری ولتاژ را شدیدتر کند. با افزایش هارمونیک‌های جریان درنتیجه وقوع نوسانات ولتاژ، موتورهای الکتریکی از جمله رانشگرهای کشتی با برق هارمونیکی تغذیه شده و تلفات فوکو و هیسترزیس هسته آن‌ها افزایش یافته و همین سبب افزایش دمای عملکرد آن‌ها می‌شود که در بلندمدت، سبب کاهش عمر تجهیزات موتوری می‌گردد و قابلیت اطمینان سیستم‌های پیشرانه کشتی را با چالش مواجه می‌سازد. مطابق استانداردهای مختلف، محدودیت نوسانات ولتاژ درنتیجه تغییرات بار در شبکه الکتریکی شناورها نباید بیش از ۲۰ درصد باشد و افت و خیز ولتاژ باید در مدت زمان ۱/۵ ثانیه مرتفع گردد. تغییرات گذرهای فرکانس نیز نباید از ۱۰ درصد تجاوز کند و فرکانس در مدت زمان ۵ ثانیه باید به حالت عادی بازگردد. اعداد ۲۰ درصد و ۱۰ درصد برای نوسانات ولتاژ و فرکانس طبق استاندارد STANAG1008 به ترتیب به ۱۶ و ۴ درصد محدود شده است. همچنین این استانداردها، محدودیت اعوجاج هارمونیکی ولتاژ و جریان را در رنج ۵ تا ۸ درصد محدود می‌کنند [۱۴].

<sup>۱</sup> Coordination

خروجی اینورتر در چارچوب سنکرون  $dq$  به صورت زیر به دست می‌آید [۱۹].

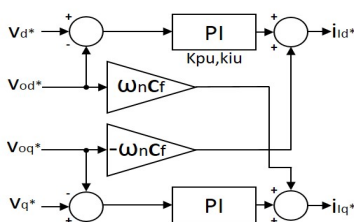
$$C \frac{dv_{od}}{dt} = i_{id} - i_{od} + C\omega v_{oq} \quad (1)$$

$$C \frac{dv_{oq}}{dt} = i_{iq} - i_{od} + C\omega v_{id} \quad (2)$$

$$L \frac{dv_{id}}{dt} = v_{id} - v_{od} + L\omega i_{iq} \quad (3)$$

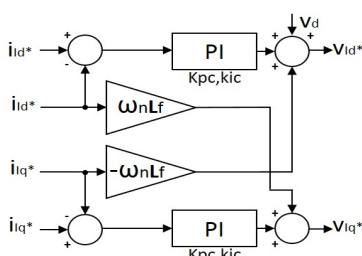
$$L \frac{dv_{iq}}{dt} = v_{id} - v_{od} + L\omega i_{iq} \quad (4)$$

در روابط فوق،  $C$  و  $L$  خازن و سلف فیلتر خروجی اینورتر،  $\omega$  فرکانس زاویه‌ای است.  $i_o$  و  $i_o$  به ترتیب جریان و ولتاژ خروجی اینورتر و  $i_i$  و  $v_i$  جریان و ولتاژ ورودی هستند. بهمنظور طراحی کنترل کننده، دو زیرسیستم بر اساس معادلات فوق در نظر گرفته می‌شود. معادلات (۱) و (۲) که مربوط به مؤلفه‌های ولتاژ خازن فیلتر است، به عنوان زیرسیستم اول و معادلات (۳) و (۴) که مربوط به مؤلفه‌های جریان سلف فیلتر در خروجی اینورتر است به عنوان زیرسیستم دوم در نظر گرفته می‌شوند. در طراحی، برخی متغیرهای حالت سیستم به عنوان ورودی‌های کنترل مجازی در نظر گرفته می‌شوند و مقادیر مرجع مناسب برای آن‌ها به نحوی انتخاب می‌گردد که خروجی‌های سیستم مقادیر مرجع خود را تعقیب نمایند. شکل (۲) بلوک دیاگرام کنترلی ولتاژ داخلی نشان می‌دهد.



شکل ۲. حلقه کنترل ولتاژ

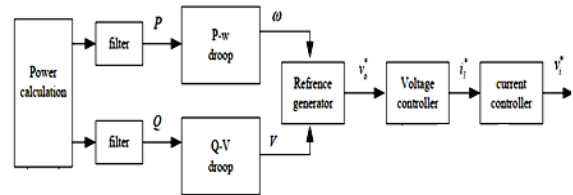
مطابق شکل (۲)، در زیرسیستم اول، مؤلفه‌های جریان سلف طرف اینورتر،  $i_{id}$  و  $i_{iq}$  به عنوان ورودی در نظر گرفته می‌شوند و مقادیر مرجع برای آن‌ها به نحوی تعیین می‌گردد که مؤلفه‌های ولتاژ خروجی مقادیر مرجع خود را در حضور نامعینی در پارامترهای این زیرسیستم تعقیب نمایند. شکل (۳) ساختار کنترلی حلقه کنترلی در داخلی که بهمنظور جلوگیری از اضافه جریان و ایجاد محدودیت در هنگام مواجه با خطاهای اتخاذ شده است را نشان می‌دهد. در اینجا نیز از یک کنترل کننده PI استاندارد بهمنظور دستیابی به کنترل جریان سلف فیلتر خروجی استفاده شده است.



شکل ۳. حلقه کنترل جریان

## ۲. روش کنترل دروب غیرمتغیر

مهماًترین و جدیدترین روش کنترل غیرمتغیر کزی که تابه حال ارائه شده است، روش دروب<sup>۱</sup> کنترل ریزشبکه است. این روش بر اساس مشخصه‌های دروب فرکانس - توان اکتیو و نیز دروب ولتاژ - توان راکتیو برای هر واحد تولید پراکنده، یک استراتژی کنترل جریان برای سیستم ریزشبکه جزیره‌ای با چندین واحد تولید پراکنده ارائه می‌کند و هر واحد تولید پراکنده به‌وسیله دو مشخصه دروب مشخص می‌گردد. در این روش، جریان و ولتاژ خروجی توسط سنسور محاسبه شده و سپس توسط روابط موجود در مرجع  $dq$ ، مقدار توان اکتیو و راکتیو محاسبه شده و پس از فیلترشدن توسط یک فیلتر پایین گذر، در کنترلر دروب به کار گرفته می‌شود تا فرکانس و دامنه ولتاژ را تولید کند. سپس، مقادیر مرجع ولتاژ در کنترل کننده ولتاژ به کار گرفته می‌شود و درنهایت در کنترل کننده جریان به کار گرفته می‌شود تا از این طریق پالس‌های سوئیچ زنی مناسب مربوط به مبدل ایجاد شود [۱۸]. شکل (۱) دیاگرام کلی سیستم مورد بررسی در این مقاله را نشان می‌دهد.



شکل ۱. ساختار کنترل دروب غیر متغیر

همان‌گونه که مشاهده می‌شود در این روش، جریان و ولتاژ خروجی توسط سنسور محاسبه شده و سپس توسط روابط موجود در مرجع  $dq$ ، مقدار توان اکتیو و راکتیو محاسبه شده و پس از فیلترشدن توسط یک فیلتر پایین گذر، در کنترلر دروب به کار گرفته می‌شود تا فرکانس و دامنه ولتاژ را تولید کند. سپس، مقادیر مرجع ولتاژ در کنترل کننده ولتاژ به کار گرفته می‌شود و درنهایت در کنترل کننده جریان به کار گرفته می‌شود تا از این طریق پالس‌های سوئیچ زنی مناسب مربوط به مبدل ایجاد شود. در ادامه بخش‌های مختلف کنترل کننده متغیر کنترلر دروب به کار پژوهش به تفکیک و با استفاده از روابط تشریح می‌گردد. برای تعقیب فرمان‌های موج توان و دستیابی به انرژی الکتریکی باکیفیت مطلوب در خروجی منابع ولتاژ اینورتری، استفاده از یک سیستم کنترل ولتاژ و جریان مناسب برای مبدل الکترونیک قادر منابع DER ضروری است. به همین منظور روش‌های کنترلی با ساختارهای متفاوت برای واسط الکترونیک قادر معرفی شده است. برای طراحی حلقه‌های کنترلی داخلی از معادلات حاکم بر رفتار فیلتر خروجی اینورتر استفاده می‌شود. معادلات فیلتر LC

<sup>۱</sup>Droop Method

$$\omega_i = \omega_0 + \delta\omega_i - m_i P_i \quad (5)$$

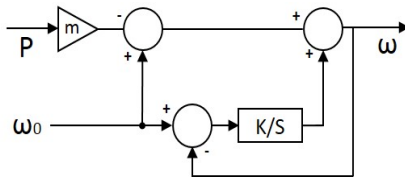
باتوجهه به معادله فوق، برای تنظیم فرکانسی  $\omega_i$  روی فرکانس اسمی  $\omega_0$  باید برابر با  $m_i P_i$  باشد؛ یعنی در حالت پایدار می‌توان رابطه (۶) را نوشت:

$$\delta\omega_i = m_i P_i \quad (6)$$

بنابراین، در حالتی که تغییرات کوچک باشد می‌توان رابطه (۷) را به صورت زیر بازنویسی کرد:

$$\frac{d(\delta\omega_i)}{dt} = k \Delta\omega_i \quad (7)$$

که در رابطه بالا،  $\Delta\omega_i$  اختلاف فرکانسی  $\omega_i$  و  $\omega_0$  است و  $k$  مقدار ثابتی است که نشان‌دهنده نرخ کلی بازیابی فرکانس است؛ بنابراین بلوک دیاگرام مربوط به تشییت و بازیابی فرکانس سیستم در این حالت و باتوجهه به روابط فوق به صورت شکل (۵) ارائه می‌گردد.



شکل ۵. نحوه تشییت و بازیابی فرکانس در ریز شبکه‌ها

## ۲-۲. اشتراک توان راکتیو در کنترل کننده دروپ

همان‌گونه که قبلاً بیان شد، اشتراک‌گذاری توان اکتیو در سیستم قدرت توسط کنترل دروپ p-f صورت می‌گیرد؛ اما برای اشتراک‌گذاری و تقسیم توان راکتیو DER باید از کنترل دروپ Q-V استفاده شود با این تفاوت که در این حالت مقادیر تحت‌تأثیر پارامترهایی همچون افت ولتاژ روی فیدرهای DER و بارهای محلی نزدیک DER هستند. رابطه (۸) بیانگر این موضوع است.

$$V_i = V_{pcc} + \frac{R}{V_{pcc}} P_i + \frac{X}{V_{pcc}} Q_i \quad (8)$$

که در آن  $V_i$  و  $V_{pcc}$  به ترتیب دامنه ولتاژ DER و نقطه اتصال (PCC) است و  $P_i + jQ_i$  توان تزریقی توسط DER است. همچنین در این رابطه، مقدار امپدانس خط بین DER و PCC است. حال با فرض کوچک بودن مقدار مقاومت خط می‌توان رابطه بالا را به صورت رابطه (۹) بازنویسی کرد.

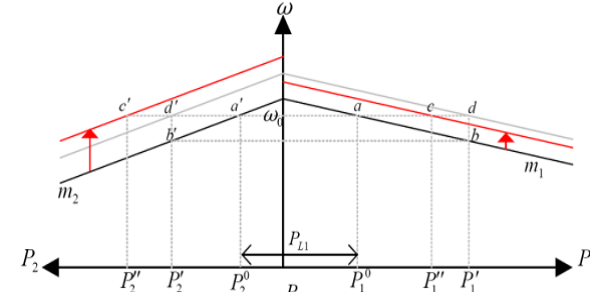
$$\Delta V_i = V_i - V_{pcc} = \frac{X}{V_{pcc}} Q_i = K Q_i \quad (9)$$

این معادله رابطه بین اختلاف دامنه ولتاژ (بین ولتاژ خروجی DER و توان راکتیو خروجی DER) را نشان می‌دهد. از آنجاکه  $V_{pcc}$  می‌باشد در گستره کوچکی تغییر کند و اندوکتانس بین دو ولتاژ اساساً ثابت هستند، بنابراین منطقی است که فرض کنیم که مقدار ثابتی باشد. لازم به ذکر می‌باشد که کلیه معادلات نوشته شده در این بخش باتوجهه به معادله خط شیبدار ارائه شده‌اند.

مطابق شکل (۳)، در زیرسیستم دوم مؤلفه‌های ولتاژ خروجی اینورتر،  $v_{iq}$  و  $v_{id}$  ورودی‌های کنترل اصلی سیستم هستند. ضابطه این ورودی‌های کنترلی به نحوی تعیین می‌شود که جریان سلف طرف اینورتر مقادیر مرجع خود را در حضور نامعینی در پارامترهای این زیرسیستم تعییب نمایند. وجود حلقه‌ی جریان اجازه می‌دهد تا شکل جریان تنظیم‌شده و محدودیت‌های جریان به صورت همزمان، یا پاسخ‌های بسیار سریع انجام شود. لازم به ذکر است که اگر حلقه‌های جریان و ولتاژ داخلی از این مدل حذف شود، تنظیم و محدودساز جریان از بین می‌رود و این شاید منجر به تزریق جریان بسیار بالا در طی شرایط بسیار اضطراری و تأثیر بر کیفیت جریان خالص شود. اگر حلقه‌های داخلی با سیستم ترکیب داده شود، ممکن است سیستم در سرتاسر حالت پایداری و پاسخ سریع، افت کند. اگر یک حلقه کنترلی دامنه ولتاژ با مدیریت توان راکتیو توصیف شود، ممکن است بتوان آن حلقه ولتاژ را حذف کرد و بردار ولتاژ را مستقیماً به PWM متصل کرد. هرچند این کار کیفیت جریان را پایین می‌آورد زیرا هیچ تنظیم جریان و حلقه‌ی فیدبکی برای جریان وجود نخواهد داشت. در این روش خروجی مدیریت توان می‌تواند هم به صورت چارچوب q-d یا هم به صورت دامنه ولتاژ و فرکانس باشد.

## ۲-۱. تشییت فرکانس در کنترل کننده دروپ

شکل (۴) نحوه تشییت فرکانس را برای دو DER نشان می‌دهد که برای ساده‌سازی منحنی‌های دروپ به شکل پشت‌به‌پشت در شکل نشان داده شده‌اند.



شکل (۴)، نقاط a و a' شرایط را قبل از تغییر بار نشان می‌دهد که در این حالت فرکانس کاری  $\omega_0$  است. بعد از تغییر بار، از  $P_{L1}$  به  $P_{L2}$ ، نقاط کاری به b و b' شیفت پیدا می‌کنند که فرکانس کاری کمتری را دارد. برای داشتن یک فرکانس کاری حالت پایداری که مستقل از بار است، لازم است تقسیم توان اکتیو به نحو درست اطمینان حاصل شود. برای این کار یک شیفت در داخل منحنی دروپ کنترل نیاز است که به آن فرایند بازیابی فرکانسی (FRP)<sup>۱</sup> می‌گویند تا فرکانس را به مقدار اسمی اش بازیابی کند. حال باتوجهه به شکل (۴) و محاسبه معادله مربوط به هر یک از خطوط شیبدار می‌توان رابطه (۵) را ارائه کرد.

<sup>۲</sup> Point of Common Coupling

<sup>۱</sup> Frequency Restoration Process

مقادیر پارامترهای مربوط به بخش قدرت مورداستفاده در سیستم شبیه‌سازی مطابق جدول (۱) است. همچنین مقادیر پارامترهای مربوط به بخش کنترلی مورداستفاده در سیستم شبیه‌سازی به مطابق جدول (۲) است.

جدول ۱. مقادیر پارامترهای بخش قدرت در شبیه‌سازی [۱۹]

مقدار	پارامتر	بخش قدرت
۵۰ میکروفارد		ولتاژ نامی (خط - خط)
۱/۳۵ میلی هانری اهم ۰/۱	V <sub>LL</sub>	
۰ میلی هانری اهم ۰/۰۳	f <sub>n</sub>	فرکانس نامی
۴ کیلو وات ۲ کیلووار	Load1 Load2 Load3	بار
۰/۴ اهم	I <sub>1</sub>	
۰/۲ اهم	I <sub>2</sub>	
۰/۲ اهم	I <sub>3</sub>	امپدانس خط

جدول ۲. مقادیر پارامترهای بخش کنترلی در شبیه‌سازی [۱۹]

مقدار	پارامتر	بخش کنترلی
۵۰ میکروفارد	C <sub>f</sub>	
۱/۳۵ میلی هانری	L <sub>f</sub>	فیلتر خروجی
۰/۱ اهم	I <sub>f</sub>	
۰/۳۵ میلی هانری	L <sub>c</sub>	امپدانس خروجی
۰/۰۳ اهم	R <sub>lc</sub>	
۰/۰۵	K <sub>pv</sub>	
۳۹۰	K <sub>iv</sub>	کنترل ولتاژ
۱۰/۵	K <sub>pc</sub>	
۱۶۰۰۰	K <sub>ic</sub>	کنترل جریان
۰/۰۰۰۱	m <sub>1</sub>	
۰/۰۰۰۵	m <sub>2</sub>	
۰/۰۰۰۱	m <sub>3</sub>	
۰/۰۰۱	n <sub>1</sub>	
۰/۰۰۰۵	n <sub>2</sub>	
۰/۰۰۱	n <sub>3</sub>	کنترل دروب

در این مقاله بهمنظور بررسی صحت نتایج و درستی عملکرد سیستم کنترلی دو شاخص در نظر گرفته می‌شود که عبارت‌اند از: شاخص فرکانس زاویه‌ای: این شاخص برای بررسی عملکرد سیستم در تثبیت فرکانس در حالت‌های مختلف مورداستفاده قرار می‌گیرد که به‌واسطه اینکه سیستم همواره می‌باشد در فرکانس ۵۰ هرتز کار کند، مقدار فرکانس زاویه‌ای ۳۱۴ در نظر گرفته می‌شود که این مقدار شاخص فرکانسی است. اختلاف مقادیر به‌دست‌آمده در شبیه‌سازی با مقدار مذکور نشان‌دهنده دقیق نتایج است.

### ۳-۲. اشتراک گذاری توان و بازیابی فرکانس

همان‌گونه که بیان شد فرکانس یک‌ریز شبکه در حالت ماندگار، یکتا است و بنابراین، توان اکتیو توسط کنترل دروب P-f به اشتراک گذاشته می‌شود. این مفهوم می‌تواند خطای تقسیم توان راکتیو را در طی فرایند جبران‌سازی توان راکتیو (RCP)<sup>۱</sup> حذف کند. این به این معنی است که در طی RCP، فرکانس نقشی حیاتی برای متصل شدن DERها به هم دارد. در RCP به جای روابط اصلی دروب کنترل از روابط زیر استفاده می‌شود.

$$\omega_i = \omega_o - m_i P_i + G k_q (n_i Q_i) \quad (10)$$

$$V_i = V_o - n_i Q_i + \frac{k_1}{s} G (P_i - P_{i,avg})$$

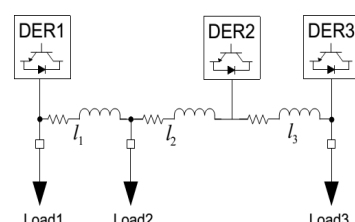
که در آن  $K_q$  و  $K_1$  ثابت‌های توان راکتیو و بهره انتگرال گیر هستند، که به‌گونه‌ای انتخاب می‌شوند که برای تمام DERها برابر باشند،  $G$  بهره جبران‌ساز است که نوسانات توان را در طی فرایند جبران‌سازی حداقل می‌کند و  $P_{i,avg}$  توان خروجی متوسط i مین DER است. همچنین با توجه‌به اینکه در نهایت فرکانس ثابت (یکتا) و در تمام DERها یکسان است، می‌باشد رابطه (۱۱) برقرار باشد.

$$n_1 Q_1 = n_2 Q_2 = \dots = n_N Q_N \quad (11)$$

مطابق شکل (۵) کنترل کننده غیرمتتمرکز پیشنهادی، به دلیل وجود واحدهای RCP و FRP، با اشتراک گذاری توان راکتیو در سیستم، علاوه بر کنترل ولتاژ، فرکانس سیستم به مقدار اولیه بازیابی شده است. نحوه عملکرد سیستم بدین نحو است که کنترل کننده پیشنهادی بالاصله پس از ایجاد تغییر در سیستم مانند ورود بار و یا خروج بار از شبکه، تغییر را احساس کرده، سپس به واحدهای تولید پراکنده پیام می‌دهد که با اشتراک گذاری توان راکتیو در سیستم علاوه بر جبران سازی ولتاژ و تنظیم محدوده آن، مقدار فرکانس سیستم نیز به مقدار اولیه خود بازگردد. درواقع تقسیم توان مناسب باعث بهبود عملکرد ریزشبکه و قدرت مانور آن در زمان خطای می‌شود و عملکرد ریزشبکه را در شرایط جزیره‌ای تضمین می‌کند.

### ۳. شبیه‌سازی مدار پیشنهادی

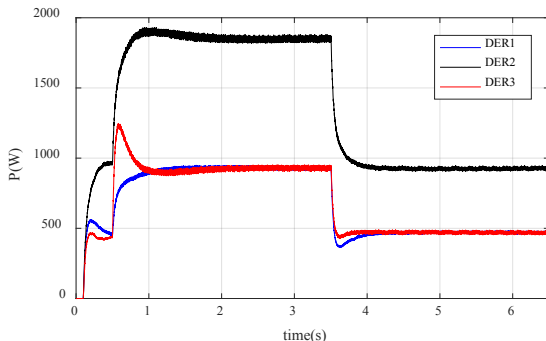
شکل (۶) ساختار سیستم شبیه‌سازی شده در این مقاله مربوط به ریزشبکه شناور را نشان می‌دهد که شامل سه منبع تولید توان و سه بار متصل به آن است.



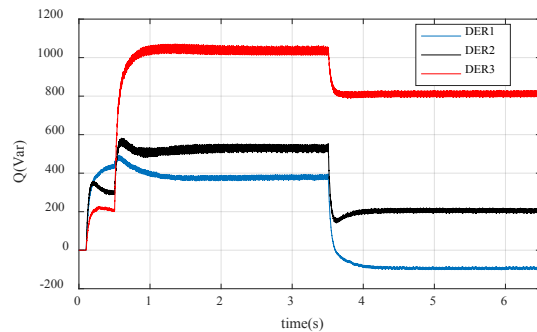
شکل ۶. سیستم مورداستفاده در مقاله بهمنظور شبیه‌سازی

<sup>۱</sup> Power Compensation Process

مقداری فرکانس افزایش می‌یابد، اما درنهایت به دلیل عدم حضور کنترل کننده مناسب، فرکانس سیستم به مقدار اولیه بازنمی‌گردد که سبب وجود مشکلاتی خواهد شد. شکل (۸) و (۹) به ترتیب منحنی‌های توان اکتیو و راکتیو مربوط به واحدهای DER را نشان می‌دهد.

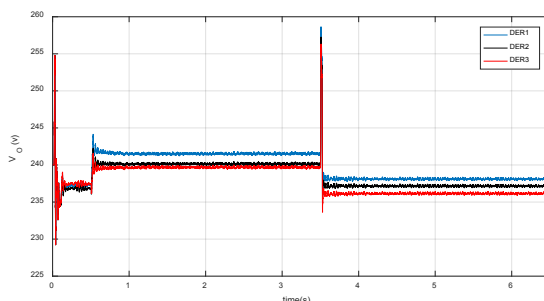


شکل ۸. منحنی فرکانس زاویه‌ای سیستم (سناریو اول)



شکل ۹. منحنی توان راکتیو واحدهای DER (سناریو اول)

همان‌گونه که مشاهده می‌شود منحنی‌های توان اکتیو و راکتیو کاملاً وابسته به بارهای ورودی و خروجی از مدار هستند بهنحوی که با ورود بار به سیستم میزان توان اکتیو و راکتیو DERها افزایش می‌یابد و با خروج بار از سیستم، توان‌های DERها کاهش می‌یابد. همچنین شکل (۱۰) منحنی ولتاژ پایانه مربوط به DERها را نشان می‌دهد.



شکل ۱۰. منحنی ولتاژ ترمینال (خروجی) DERها (سناریو اول)

همان‌گونه که مشاهده می‌شود، منحنی ولتاژ نیز در این حالت بهشت تاثیر ورود خروج بارهای مختلف است که نشان‌دهنده ضعف در سیستم کنترل است.

شاخص مربوط به ولتاژ: با توجه به اینکه ولتاژ سیستم در حالت عملکرد نرمال ۲۳۷ ولت است، بنابراین این مقدار به عنوان شاخص ولتاژ در نظر گرفته می‌شود و سیستم کنترلی باید به نحوی عمل کند که با تزریق توان راکتیو در حالت‌های مختلف این ولتاژ را قابل دستیابی کند؛ بنابراین اختلاف ولتاژ با این مقدار نشان‌دهنده خطای سیستم کنترلی است که در شبیه‌سازی‌ها به آن اشاره می‌شود [۱۹].

برای بررسی نتایج شبیه‌سازی در این مقاله سناریوهای مختلف در نظر گرفته شده است که به صورت زیر است.

**سناریو اول:** نتایج شبیه‌سازی در حالت عدم حضور کنترل کننده دروپ غیرمتتمرکز جزیره‌ای

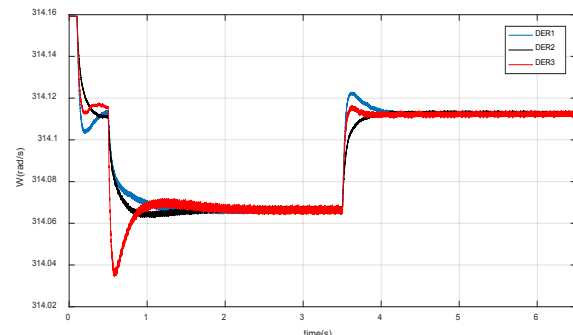
**سناریو دوم:** نتایج شبیه‌سازی در حالت حضور کنترل کننده دروپ غیرمتتمرکز جزیره‌ای

**سناریو سوم:** نتایج شبیه‌سازی در حالت حضور کنترل کننده دروپ غیرمتتمرکز جزیره‌ای برای تغییر بار ناگهانی

لازم به ذکر است که کنترل کننده موردنظر می‌باشد علاوه بر اشتراک‌گذاری توان راکتیو در سیستم، مقدار فرکانس زاویه‌ای را در حالت اولیه که مساوی ۳۱۴ رادیان بر ثانیه است برگرداند (بازیابی فرکانس).

### ۱-۳. سناریو اول: عدم حضور کنترل کننده دروپ غیرمتتمرکز جزیره‌ای

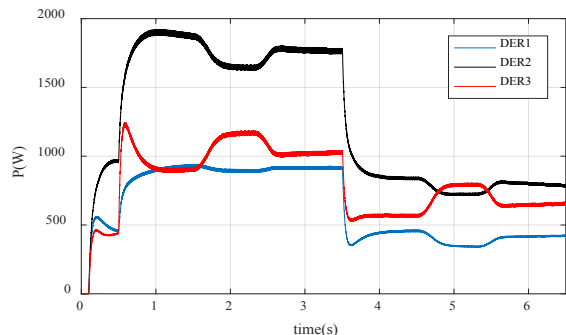
در حالت اول شبیه‌سازی، بار شماره ۲ در ثانیه ۰/۱ وارد مدار شده و در ثانیه ۳/۵ از مدار خارج می‌شود. همچنین بار شماره ۳ در این حالت در ثانیه ۰/۵ وارد مدار می‌شود. در این حالت همان‌گونه که قبلًاً بیان شد کنترل کننده متتمرکز مجهز به RPC و FRP وجود ندارد. شکل (۷) منحنی فرکانس زاویه‌ای سیستم در این حالت را نشان می‌دهد.



شکل ۷. منحنی فرکانس زاویه‌ای سیستم (سناریو اول)

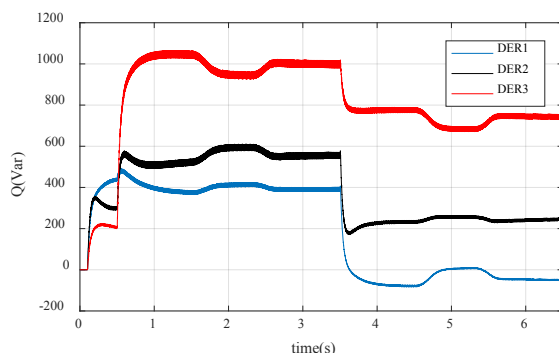
همان‌گونه که مشاهده می‌شود فرکانس زاویه‌ای در ابتدا برابر ۳۱۴/۱۶ است و پس از ورود بار شماره ۲ در لحظه ۰/۱ فرکانس کاهش می‌یابد. این کاهش با ورود بار شماره ۳ در لحظه ۰/۵ بیشتر شده و سپس با خروج بار شماره دو در لحظه ۳/۵ ثانیه

به ترتیب منحنی‌های توان اکتیو و راکتیو مربوط به واحدهای DER را نشان می‌دهد.

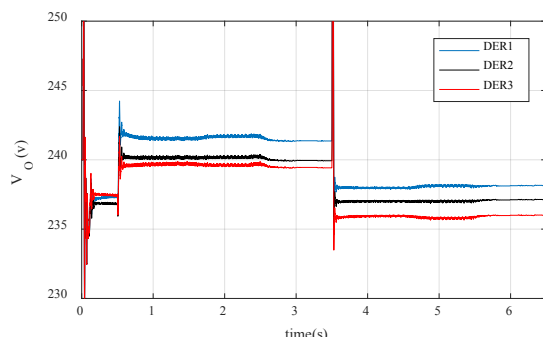


شکل ۱۳. منحنی توان اکتیو واحدهای DER (سناریو دوم)

همان‌گونه که مشاهده می‌شود، هنگامی که در ثانیه ۱,۵ بار شماره ۲ و ۳ وارد مدار هستند، قبل از عمل کردن RCP-RCP، مقدار توان راکتیو DER1 برابر ۳۵۰ وار، DER2 برابر ۴۵۰ وار و DER3 برابر ۱۰۵۰ وار است؛ همچنین در این حالت فرکانس زاویه‌ای FRP-PRC برابر ۳۱۴ رادیان بر ثانیه است. پس از وارد شدن واحدهای DER1 برابر ۴۰۰ وار، DER2 برابر ۶۰۰ وار و DER3 برابر ۹۵۰ وار می‌شود؛ همچنین در این حالت فرکانس زاویه‌ای به  $\frac{1}{16}$  رادیان بر ثانیه رسید که نشان‌دهنده عملکرد مناسب کنترل‌کننده متمنکر در اشتراک‌گذاری توان راکتیو و بازیابی فرکانس اولیه است. همچنین شکل (۱۵) منحنی تغییرات ولتاژ ترمینال مربوط به DERها در این حالت نشان می‌دهد.



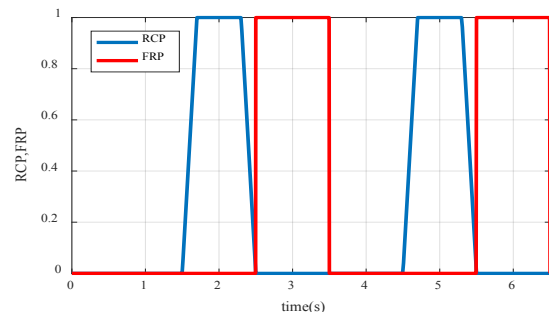
شکل ۱۴. منحنی توان راکتیو واحدهای DER (سناریو دوم)



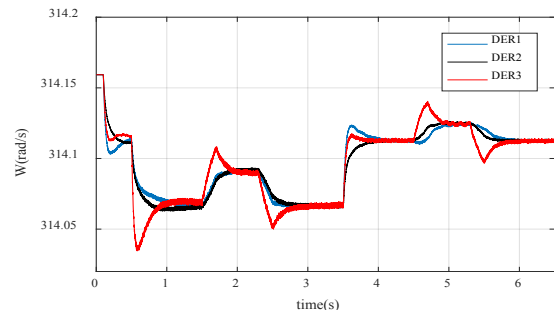
شکل ۱۵. منحنی ولتاژ ترمینال (خروجی) DERها (سناریو دوم)

## ۲-۳. سناریو دوم: حضور کنترل‌کننده دروب غیرمتمنکر جزیره‌ای

در این حالت کنترل‌کننده غیرمتمنکر مورداستفاده قرار می‌گیرد و بخش تثبیت‌کننده فرکانس که در این مقاله مورداستفاده و پیشنهاد قرار گرفته است، وجود دارد. در ادامه نتایج شبیه‌سازی در این مورد بررسی قرار می‌گیرد. لازم به ذکر است شرایط ورود و خروج بارها مطابق حالت قبل (حالت اول) است. شکل (۱۱) نحوه عملکرد بخش‌های اشتراک‌گذاری توان (RCP) و تثبیت‌کننده فرکانس (FRP) را نشان می‌دهد. در این مقاله طراحی به نحوی صورت گرفته است که RCP دقیقاً یک ثانیه پس از وقوع تغییر در سیستم عمل می‌کند و بخش FRP بالاصله پس از اتمام کار شروع به کار می‌کند که در شکل نیز کاملاً مشهود است. حال با توجه به آنچه بیان شد شکل (۱۲) منحنی فرکانس زاویه‌ای سیستم را در این حالت نشان می‌دهد.

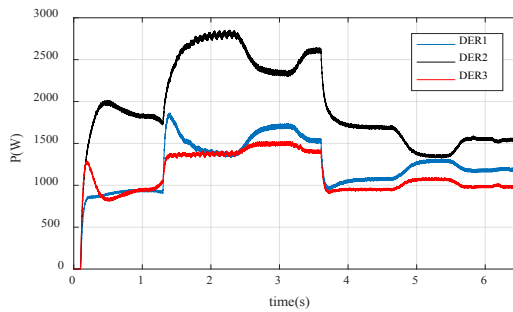


شکل ۱۱. نحوه عملکرد دو بخش RCP و FRP (سناریو دوم)

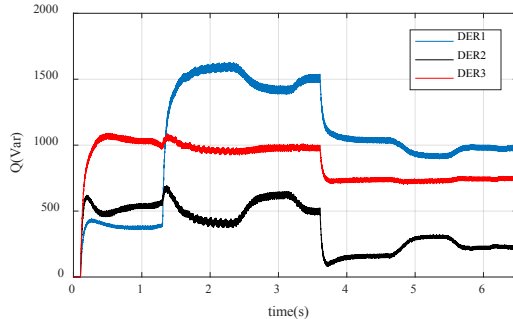


شکل ۱۲. منحنی فرکانس زاویه‌ای سیستم (سناریو دوم)

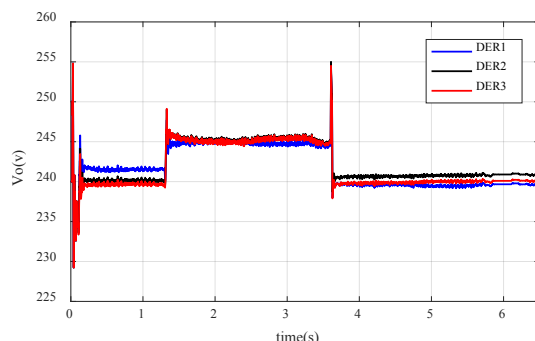
همان‌گونه که مشاهده می‌شود، در لحظه ۰/۱ که بار شماره دو وارد مدار می‌شود، دقیقاً یک ثانیه بعد از آن می‌باید RCP عمل کند اما قبل از آن بار شماره ۳ نیز در ثانیه ۰/۵ وارد مدار می‌شود و به همین دلیل دقیقاً در ثانیه ۱/۵ RCP عمل می‌کند و بالاصله بعد از FRP عمل می‌کند و سبب افزایش فرکانس زاویه‌ای بعد از ۰/۵ مدار خارج شده و به دلیل وجود این تغییر باز RCP یک ثانیه پس از دیدن این تغییر عمل کرده و سپس FRP عمل می‌کند. درنهایت همان‌گونه که مشاهده می‌شود فرکانس زاویه‌ای به مقدار اولیه و موردنظر می‌رسد که این درواقع نشان‌دهنده تثبیت فرکانس و عملکرد مناسب کنترل‌کننده پیشنهادی است. شکل (۱۳) و (۱۴)



شکل ۱۸. منحنی توان اکتیو واحدهای DER (سناریو سوم)



شکل ۱۹. منحنی توان راکتیو واحدهای DER (سناریو سوم)



شکل ۲۰. منحنی ولتاژ ترمینال (خروجی) DER ها (سناریو سوم)

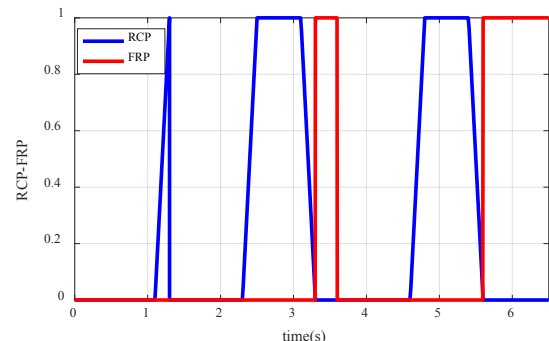
همان‌گونه که مشاهده می‌شود کنترل کننده غیرمتتمرکز پیشنهادی که دارای بخش‌های اشتراک‌گذاری توان و ثبیت توان است در این حالت نیز به خوبی عمل کرده است و توانسته است با اشتراک‌گذاری توان راکتیو هم کنترل ولتاژ و هم ثبیت فرکانس را انجام دهد و از این طریق تأثیر ورود خروج بارها در سیستم جزیره‌ای به حداقل مقدار خود برسد.

#### ۴. نتیجه‌گیری

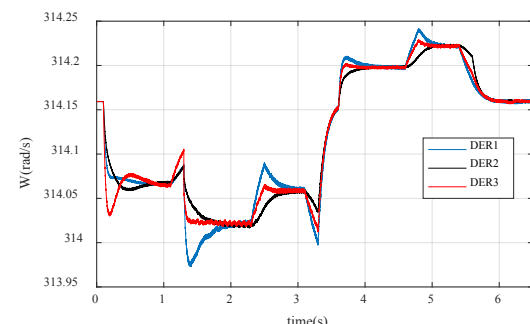
در این مقاله یک روش کنترل خودکار مستقل برای به اشتراک گذاشتن توان راکتیو در میان منابع انرژی و ثبیت فرکانس به منظور بهبود پایداری و کنترل ولتاژ و فرکانس در ریزشبکه شناور به روش کنترل دروپ غیرمتتمرکز ارائه شده است. روش کنترل غیرمتتمرکز مستقل است و نیازی به لینک‌های مخابراتی و ارتباطی بین واحدهای DER ندارد و بنابراین سادگی و قابلیت اطمینان سیستم را حفظ می‌کند. اساس کنترل کننده، تشخیص لحظه تغییر بار در هر DER است. نتایج شبیه‌سازی برای حالت

#### ۳-۳. سناریو سوم: حضور کنترل کننده دروپ غیرمتتمرکز جزیره‌ای برای تغییر بار ناگهانی

در حالت قبل عملکرد کنترل کننده در حالتی انجام گرفت که ورود خروج بارها قبل و بعد از عملکرد بخش FRP-RPC صورت گرفت؛ اما در حالت سوم هدف بررسی عملکرد سیستم در حالتی است که ورود یا خروج بارها در حین عمل کردن بخش FRP-RPC صورت می‌گیرد تا بررسی شود که چه اتفاقی برای سیستم خواهد افتاد. در این حالت، بارهای شماره ۲ و ۳ در ثانیه ۰/۰ و بار شماره ۱ در ثانیه ۰/۳ وارد مدار می‌شوند. در ادامه بار شماره ۲ در ثانیه ۳/۶ از مدار خارج می‌شود. نحوه عملکرد واحدهای DER به صورت شکل (۱۶) است. همچنانی شکل (۱۷) منحنی فرکانس زاویه‌ای سیستم را در این حالت نشان می‌دهد. همان‌گونه که مشاهده می‌شود، در لحظه ۰/۰ ثانیه بارهای شماره ۲ و ۳ وارد مدار می‌شوند و RCP می‌باید ۱ ثانیه بعد عمل کند که همین اتفاق هم می‌افتد؛ اما به دلیل واردشدن بار شماره ۱ در لحظه ۰/۳ ثانیه، RCP متوقف می‌شود و یک ثانیه بعد در لحظه ۲/۳ ثانیه عمل می‌کند و پس از آن FRP شروع می‌شود که بار شماره ۲ در لحظه ۳/۶ از مدار خارج شده و FRP متوقف می‌شود و در آخر پس از یک ثانیه یعنی در لحظه ۴/۶ ثانیه دوباره RCP و FRP عمل می‌کند و چون تغییری در مدار ایجاد نمی‌شود درنهایت مقدار فرکانس زاویه‌ای به مقدار اولیه  $314\frac{1}{16}$  رادیان بر ثانیه می‌رسد. در این حالت منحنی‌های توان اکتیو، راکتیو و ولتاژ مربوط به DERها به ترتیب در شکل‌های (۱۸)، (۱۹) و (۲۰) آورده شده است.



شکل ۲۱. نحوه عملکرد دو بخش RCP و FRP (سناریو سوم)



شکل ۲۲. منحنی فرکانس زاویه‌ای سیستم (سناریو سوم)

- Microgrids”; IEEE Trans. Power Electron. 2022. doi: 10.1109/TPEL.2022.3141096.
- [10] Han, Y. “Consensus-Based Enhanced Droop Control Scheme for Accurate Power Sharing and Voltage Restoration in Islanded Microgrids”; IEEE Trans. Power. Syst. doi: 10.1007/978-3-030-74513-4-7.
- [11] Han, H.; Liu, Y.; Sun, Y.; Su, M.; Guerrero, J. “An Improved Droop Control Strategy for Reactive Power Sharing in Islanded Microgrid”; IEEE Trans. Power Electron. 2015. doi: 10.1109/TPEL.2014.2332181.
- [12] Kosari, M.; Hosseiniān, S. H. “Decentralized Reactive Power Sharing and Frequency Restoration in Islanded Microgrid”; IEEE Trans. Power Syst. 2017. doi: 10.1109/TPWRS.2016.2621033.
- [13] De Godoy, P. ; Felisberto, K. D. R.; Poloni, P.; De Almeida, A. B.; Marujo, D. “Microgrid Operation and Control: From Grid-Connected to Islanded Mode”; IEEE Sensors J. 2022. doi: 10.1007/978-3-030-90812-6-9.
- [14] Terriche, Y. “Power Quality and Voltage Stability Improvement of Shipboard Power Systems with Non-Linear Loads”; IEEE Ind. Electron. Mag. 2019. doi: 10.1109/IEEEIC.2019.8783356.
- [15] Joao Abel, L.; Moreira, C.; Madureira, A. “Defining Control Strategies for MicroGrids Islanded Operation”; IEEE Trans. Power Syst. 2006. doi: 10.1109/TPWRS.2006.873018.
- [16] Han, Y.; Li, H.; Shen, P.; Coelho, E.; Guerrero, J. M. “Review of Active and Reactive Power Sharing Strategies in Hierarchical Controlled Microgrids”; IEEE Power Electron Lett. 2016. doi: 10.1109/TPEL.2016.2569597.
- [17] Lu, X.; Yu, J.; Lai, Y.; Wang, Y.; Guerrero, J. M. “A Novel Distributed Secondary Coordination Control Approach for Islanded Microgrids”; IEEE Trans. Smart Grid 2018. doi: 10.1109/TSG.2016.2618120.
- [18] Xu, L.; Guerrero, J. M.; Lashab, A.; Wei, B.; Bazmohammadi, N.; Vasquez, J.; Abusorrah, A. “A Review of DC Shipboard Microgrids Part I: Power Architectures, Energy Storage, and Power Converters”; IEEE Trans. Power Electron. 2022. doi: 10.1109/TPEL.2021.3128417.
- [19] Pérez-Estévez, D.; Doval-Gandoy, J.; Crego-Lourido, A. “Grid Current Control for Active-Front-End Electric Propulsion Systems in AC Ship Microgrids”; IEEE Trans. Power Electron 2021. doi: 10.1109/JESTPE.2021.3133271.

که کنترل کننده غیر مرکز وجود نداشت مورد بررسی قرار گرفت که نشان می‌داد، منحنی فرکانس زاویه‌ای سیستم بسیار به تغییرات بارها حساس بوده و درنهایت بازیابی فرکانس صورت نکرته و فرکانس سیستم تغییر می‌کند. هنگامی که کنترل کننده غیر مرکز بر روی سیستم پیاده شد، به دلیل وجود واحدهای FRP و RCP، با اشتراک‌گذاری توان راکتیو، علاوه بر کنترل ولتاژ، فرکانس سیستم به مقدار اولیه بازیابی شده است. نتایج شبیه‌سازی نشان می‌دهد که کنترل کننده پیشنهادی بلا فاصله پس از ایجاد تغییر در سیستم مانند ورود بار و یا خروج بار از شبکه، خط را احساس کرده، سپس به واحدهای تولید پراکنده با اشتراک‌گذاری توان راکتیو در سیستم علاوه بر جبران‌سازی ولتاژ و تنظیم محدوده آن، مقدار فرکانس سیستم را به مقدار اولیه خود بازمی‌گردد. نتایج نشان داد که اگر در هنگام عملکرد کنترل کننده، ناگهان تغییری در سیستم رخ دهد، کنترل کننده عملیات را متوقف و دوباره بر اساس تغییرات جدید عملیات کنترلی را انجام می‌دهد که این نشان‌دهنده سرعت و آنلاین بودن کنترل کننده نسبت به کوچک‌ترین تغییرات به وجود آمده در سیستم است.

## ۵. مرجع‌ها

- [1] Al-Falahi, M. A.; Tarasiuk, T.; Jayasinghe, S. G.; Jin, Z.; Enshaei, H.; Guerrero, J. M. “AC Ship Microgrids: Control and Power Management Optimization”; IEEE Control Syst. Mag. 2018. doi: 10.3390/en11061458.
- [2] Fang, S.; Xu, Y.; Li, Z.; Zhao, T.; Wang, H. “Two-Step Multi-Objective Management of Hybrid Energy Storage System in All-Electric Ship Microgrids”; IEEE Trans. Veh. Technol. 2019. doi: 10.1109/TVT.2019.2898461.
- [3] Khanzadeh, M. “Decentralized Control of Electrical Energy for Sensitive Areas as Inverter-Based Islanded Microgrid without Frequency Change”; J. Defence Sci. Technol. 2019, 2, 105-117 (in Persian). <https://dor.isc.ac/dor/20.1001.1.26762935.1394.6.2.4.0>
- [4] Akbarian, H.; Sedaaghi, M. “Recognition of Acoustic Emitted from Surface Vessels Using MobileNet Convolutional Algorithm”; J. Adv. Defence Sci. Technol. 2023, 1, 39-50 (in Persian). <https://dor.isc.ac/dor/20.1001.1.26762935.1402.14.1.4.4>
- [5] Khanzadeh, M. ; Nabatirad, M. R.; Ashrafi, A. “Improving Power System Stability After Contingency Occurrence on the Basis of Distributed Artificial Intelligence”; J. Adv. Defence Sci. Technol. 2019, 4, 245-253 (in Persian). <https://dor.isc.ac/dor/20.1001.1.26762935.1394.6.4.3.3>
- [6] Akbarzadeh Aghdam, P.; Khoshkho, H. “Prediction of Voltage Stability Status Considering the Impact of the Protection System”; J. Defence Sci. Technol. 2021, 3, 251-263 (in Persian). <https://dor.isc.ac/dor/20.1001.1.26762935.1400.12.4.3.5>
- [7] Terriche, Y. “Effective Controls of Fixed Capacitor-Thyristor Controlled Reactors for Power Quality Improvement in Shipboard Microgrids”; IEEE Trans. Ind. Appl. doi: 10.1109/TIA.2021.3058595.
- [8] Lan, H.; Wen, S.; Hong, Y. ; Yu, D. C.; Zhang, L.”Optimal Sizing of Hybrid PV/Diesel/Battery in Ship Power System”; Appl. Energ. 2015, 158, 26-34. doi: 10.1016/j.apenergy.2015.08.031
- [9] Zhang, B.; Gao, F.; Zhang, Y.; Liu, D.; Tang, H. “An AC-DC Coupled Droop Control Strategy for VSC-Based DC